

Метрические методы классификации и регрессии

Воронцов Константин Вячеславович

vokov@forecsys.ru

<http://www.MachineLearning.ru/wiki?title=User:Vokov>

Этот курс доступен на странице вики-ресурса

<http://www.MachineLearning.ru/wiki>

«Машинное обучение (курс лекций, К.В.Воронцов)»

Видеолекции: <http://shad.yandex.ru/lectures>

- 1 Определение расстояний между объектами**
 - Гипотезы компактности или непрерывности
 - Векторные меры близости
 - Беспознаковые способы вычисления расстояний
- 2 Метрические методы классификации**
 - Обобщённый метрический классификатор
 - Метод ближайших соседей
 - Окно Парзена и потенциальные функции
- 3 (Непара)метрические методы регрессии**
 - Формула Надарая–Ватсона
 - Выбор ядра K и ширины окна h
 - Отсев выбросов

Гипотезы непрерывности и компактности

Задачи классификации и регрессии:

X — объекты, Y — ответы;

$X^\ell = (x_i, y_i)_{i=1}^\ell$ — обучающая выборка;

Гипотеза непрерывности (для регрессии):

близким объектам соответствуют близкие ответы.

выполнена:



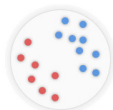
не выполнена:



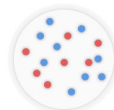
Гипотеза компактности (для классификации):

близкие объекты, как правило, лежат в одном классе.

выполнена:

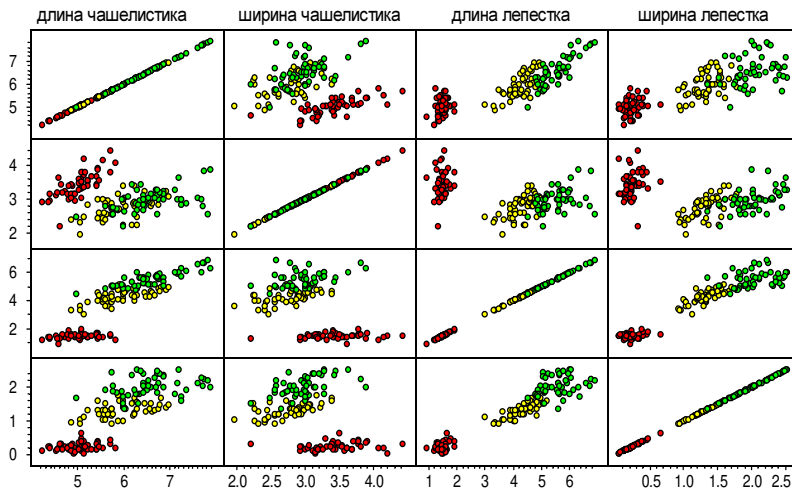


не выполнена:



Пример: задача классификации цветков ириса [Фишер, 1936]

Привычная мера близости — евклидова метрика в \mathbb{R}^2 .



Формализация понятия «близости»

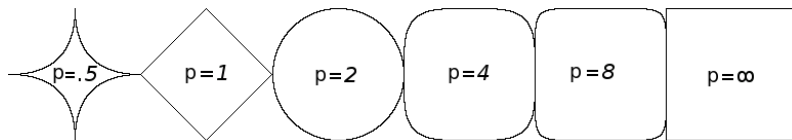
Евклидова метрика и обобщённая метрика Минковского:

$$\rho(x, x_i) = \left(\sum_{j=1}^n |x^j - x_i^j|^2 \right)^{1/2} \quad \rho(x, x_i) = \left(\sum_{j=1}^n w_j |x^j - x_i^j|^p \right)^{1/p}$$

$x = (x^1, \dots, x^n)$ — вектор признаков объекта x ,

$x_i = (x_i^1, \dots, x_i^n)$ — вектор признаков объекта x_i ,

w_1, \dots, w_n — веса признаков, которые можно обучать.



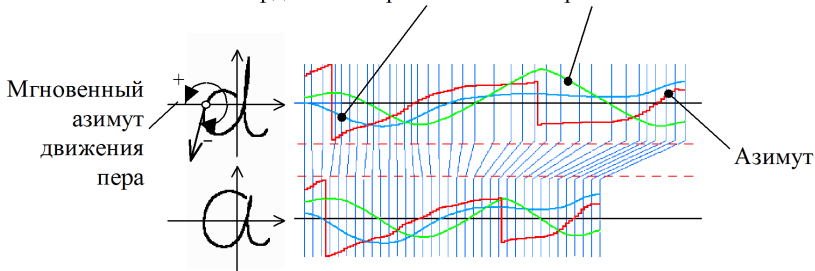
Расстояния между строками / сигналами

Для строк — редакторское расстояние Левенштейна:

СТGGGCTAAAAGGTCCTTAGCC . . TTTAGAAAAA . GGGCCATTAGGAAATTGC
СТGGGACTAAA . . . CCTTAGCCTATTTACAAAAATGGGCCATTAGG . . . TTGC

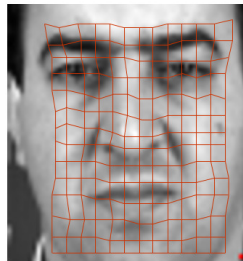
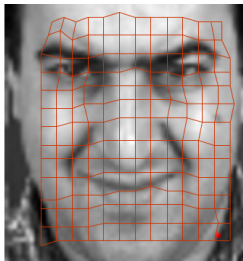
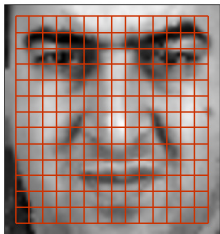
Для сигналов — энергия сжатий и растяжений:

Координаты: горизонтальная вертикальная



Расстояния между изображениями

Расстояние между изображениями на основе выравнивания:



Оценивается энергия растяжения прямоугольной сетки

Обобщённый метрический классификатор

Для произвольного $x \in X$ отранжируем объекты x_1, \dots, x_ℓ :

$$\rho(x, x^{(1)}) \leq \rho(x, x^{(2)}) \leq \dots \leq \rho(x, x^{(\ell)}),$$

$x^{(i)}$ — i -й сосед объекта x среди x_1, \dots, x_ℓ ;

$y^{(i)}$ — ответ на i -м соседе объекта x .

Метрический алгоритм классификации:

$$a(x; X^\ell) = \arg \max_{y \in Y} \underbrace{\sum_{i=1}^{\ell} [y^{(i)} = y] w(i, x)}_{\Gamma_y(x)},$$

$w(i, x)$ — вес (степень важности) i -го соседа объекта x , неотрицателен, не возрастает по i .

$\Gamma_y(x)$ — оценка близости объекта x к классу y .

Метод k ближайших соседей (k nearest neighbors, k NN)

$w(i, x) = [i \leq 1]$ — метод ближайшего соседа

$w(i, x) = [i \leq k]$ — метод k ближайших соседей

Преимущества:

- простота реализации (lazy learning);
- параметр k можно оптимизировать по критерию скользящего контроля (leave-one-out):

$$\text{LOO}(k, X^\ell) = \sum_{i=1}^{\ell} [a(x_i; X^\ell \setminus \{x_i\}, k) \neq y_i] \rightarrow \min_k.$$

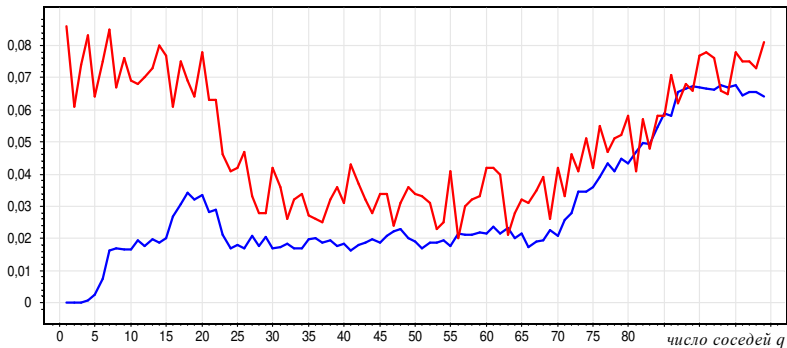
Недостатки:

- неоднозначность классификации при $\Gamma_y(x) = \Gamma_s(x)$, $y \neq s$.
- не учитываются значения расстояний

Зависимость LOO от числа соседей

Пример. Задача UCI: Iris.

частота ошибок



- смещённое число ошибок, когда объект учитывается как сосед самого себя
- несмещённое число ошибок LOO

Метод k взвешенных ближайших соседей

$$w(i, x) = [i \leq k] w_i,$$

где w_i — вес, зависящий только от номера соседа;

Возможные эвристики:

$w_i = \frac{k+1-i}{k}$ — линейные убывающие веса;

$w_i = q^i$ — экспоненциально убывающие веса, $0 < q < 1$;

Проблемы:

- как более обоснованно задать веса?
- возможно, было бы лучше, если бы вес $w(i, x)$ зависел не от порядкового номера соседа i , а от расстояния до него $\rho(x, x^{(i)})$.

Метод окна Парзена

$w(i, x) = K\left(\frac{\rho(x, x^{(i)})}{h}\right)$, где h — ширина окна,
 $K(r)$ — ядро, не возрастает и положительно на $[0, 1]$.

Метод парзеновского окна *фиксированной ширины*:

$$a(x; X^\ell, h, K) = \arg \max_{y \in Y} \sum_{i=1}^{\ell} [y_i = y] K\left(\frac{\rho(x, x_i)}{h}\right)$$

Метод парзеновского окна *переменной ширины*:

$$a(x; X^\ell, k, K) = \arg \max_{y \in Y} \sum_{i=1}^{\ell} [y_i = y] K\left(\frac{\rho(x, x_i)}{\rho(x, x^{(k+1)})}\right)$$

Оптимизация параметров — по критерию LOO:

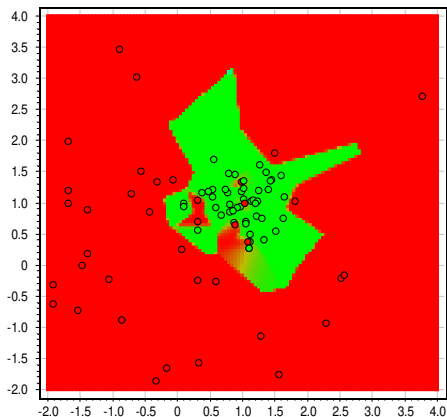
- выбор ширины окна h или числа соседей k
- выбор ядра K

Парzenовское окно фиксированной ширины h

Пример: двумерная выборка, два класса $Y = \{-1, +1\}$.

$$a(x) = \arg \max_{y \in Y} \Gamma_y(x) = \text{sign}(\underbrace{\Gamma_{+1}(x) - \Gamma_{-1}(x)}})$$

$h = 0.05$

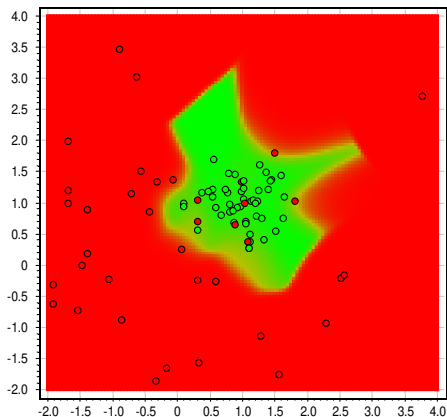


Парzenовское окно фиксированной ширины h

Пример: двумерная выборка, два класса $Y = \{-1, +1\}$.

$$a(x) = \arg \max_{y \in Y} \Gamma_y(x) = \text{sign}(\underbrace{\Gamma_{+1}(x) - \Gamma_{-1}(x)}})$$

$h = 0.2$

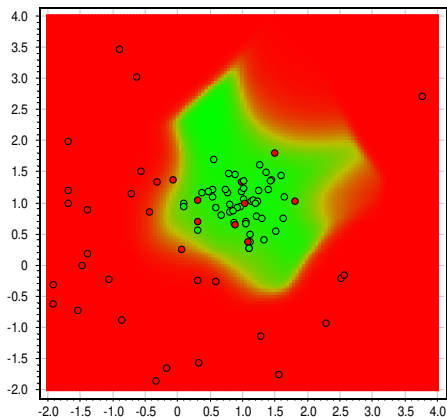


Парzenовское окно фиксированной ширины h

Пример: двумерная выборка, два класса $Y = \{-1, +1\}$.

$$a(x) = \arg \max_{y \in Y} \Gamma_y(x) = \text{sign}(\underbrace{\Gamma_{+1}(x) - \Gamma_{-1}(x)}})$$

$h = 0.3$

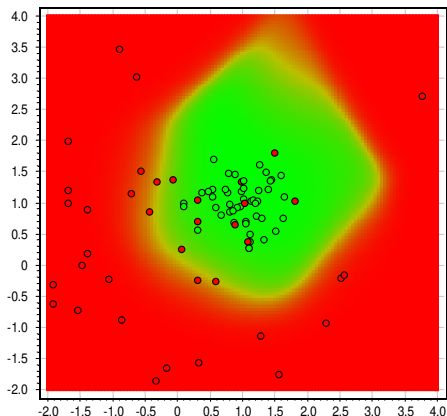


Парzenовское окно фиксированной ширины h

Пример: двумерная выборка, два класса $Y = \{-1, +1\}$.

$$a(x) = \arg \max_{y \in Y} \Gamma_y(x) = \text{sign}(\underbrace{\Gamma_{+1}(x) - \Gamma_{-1}(x)}})$$

$h = 0.5$

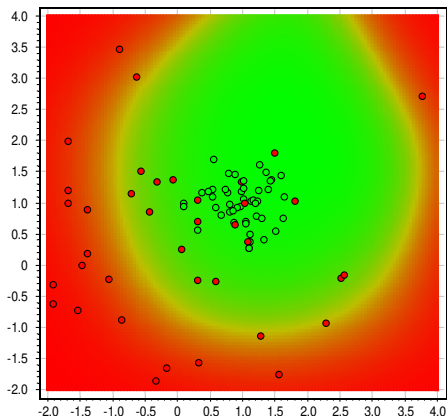


Парzenовское окно фиксированной ширины h

Пример: двумерная выборка, два класса $Y = \{-1, +1\}$.

$$a(x) = \arg \max_{y \in Y} \Gamma_y(x) = \text{sign}(\underbrace{\Gamma_{+1}(x) - \Gamma_{-1}(x)}})$$

$h = 1.0$

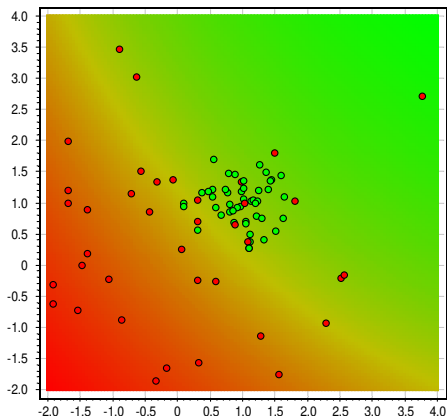


Парzenовское окно фиксированной ширины h

Пример: двумерная выборка, два класса $Y = \{-1, +1\}$.

$$a(x) = \arg \max_{y \in Y} \Gamma_y(x) = \text{sign}(\underbrace{\Gamma_{+1}(x) - \Gamma_{-1}(x)}})$$

$h = 5.0$



Метод потенциальных функций

$$w(i, x) = \gamma^{(i)} K\left(\frac{\rho(x, x^{(i)})}{h^{(i)}}\right)$$

Более простая запись (здесь можно не ранжировать объекты):

$$a(x; X^\ell) = \arg \max_{y \in Y} \sum_{i=1}^{\ell} [y_i = y] \gamma_i K\left(\frac{\rho(x, x_i)}{h_i}\right),$$

где γ_i — веса объектов, $\gamma_i \geq 0$, $h_i > 0$.

Физическая аналогия из электростатики:

γ_i — величина «заряда» в точке x_i ;

h_i — «радиус действия» потенциала с центром в точке x_i ;

y_i — знак «заряда» (в случае двух классов $Y = \{-1, +1\}$);

$K(r) = \frac{1}{r}$ или $\frac{1}{r+a}$

В задачах классификации нет ограничений ни на K , ни на $|Y|$.

Метод потенциальных функций = линейный классификатор

Два класса: $Y = \{-1, +1\}$.

$$\begin{aligned} a(x; X^\ell) &= \arg \max_{y \in Y} \Gamma_y(x) = \text{sign}(\Gamma_{+1}(x) - \Gamma_{-1}(x)) = \\ &= \text{sign} \sum_{i=1}^{\ell} \gamma_i y_i K\left(\frac{\rho(x, x_i)}{h_i}\right). \end{aligned}$$

Сравним с линейной моделью классификации:

$$a(x) = \text{sign} \sum_{j=1}^n \gamma_j f_j(x).$$

- $f_j(x) = y_j K\left(\frac{1}{h_j} \rho(x, x_j)\right)$ — новые признаки объекта x
- γ_j — веса линейного классификатора
- $n = \ell$ — число признаков равно числу объектов обучения

Резюме

- Метрические классификаторы — одни из самых простых. Качество классификации определяется качеством метрики.
- Что можно обучать:
 - число ближайших соседей k или ширину окна h ;
 - веса объектов;
 - набор эталонов (prototype selection);
 - метрику (distance learning, similarity learning);
 - в частности, веса признаков в метрике;
 - функцию ядра $K(r)$.

Задачи регрессии и метод наименьших квадратов

- X — объекты (часто \mathbb{R}^n); Y — ответы (часто \mathbb{R} , реже \mathbb{R}^m);
 $X^\ell = (x_i, y_i)_{i=1}^\ell$ — обучающая выборка;
 $y_i = y(x_i)$, $y: X \rightarrow Y$ — неизвестная зависимость;
- $a(x) = f(x, \alpha)$ — параметрическая модель зависимости,
 $\alpha \in \mathbb{R}^p$ — вектор параметров модели.

- Метод наименьших квадратов (МНК):

$$Q(\alpha, X^\ell) = \sum_{i=1}^{\ell} w_i (f(x_i, \alpha) - y_i)^2 \rightarrow \min_{\alpha},$$

где w_i — вес, степень важности i -го объекта.

- **Недостаток:**

надо иметь хорошую параметрическую модель $f(x, \alpha)$

Непараметрическая регрессия, формула Надарая–Ватсона

Приближение константой $f(x, \alpha) = \alpha$ в окрестности $x \in X$:

$$Q(\alpha; X^\ell) = \sum_{i=1}^{\ell} w_i(x) (\alpha - y_i)^2 \rightarrow \min_{\alpha \in \mathbb{R}}$$

где $w_i(x) = K\left(\frac{\rho(x, x_i)}{h}\right)$ — веса объектов x_i относительно x ;
 $K(r)$ — ядро, невозрастающее, ограниченное, гладкое;
 h — ширина окна сглаживания.

Формула ядерного сглаживания Надарая–Ватсона:

$$a_h(x; X^\ell) = \frac{\sum_{i=1}^{\ell} y_i w_i(x)}{\sum_{i=1}^{\ell} w_i(x)} = \frac{\sum_{i=1}^{\ell} y_i K\left(\frac{\rho(x, x_i)}{h}\right)}{\sum_{i=1}^{\ell} K\left(\frac{\rho(x, x_i)}{h}\right)}$$

Обоснование формулы Надарая–Ватсона

Теорема

Пусть выполнены следующие условия:

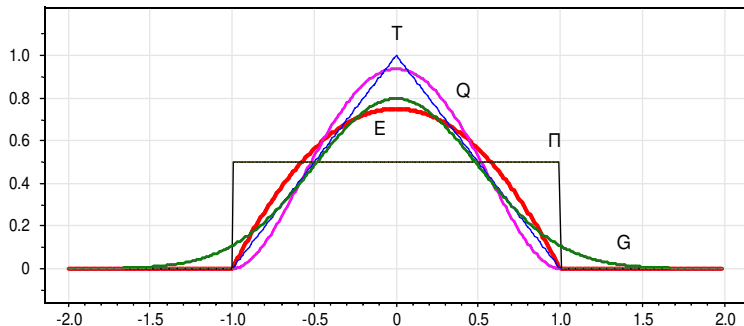
- 1) выборка $X^\ell = (x_i, y_i)_{i=1}^\ell$ простая, из распределения $p(x, y)$;
- 2) ядро $K(r)$ ограничено: $\int_0^\infty K(r) dr < \infty$, $\lim_{r \rightarrow \infty} rK(r) = 0$;
- 3) зависимость $E(y|x)$ не имеет вертикальных асимптот:
 $E(y^2|x) = \int_Y y^2 p(y|x) dy < \infty$ при любом $x \in X$;
- 4) последовательность h_ℓ убывает, но не слишком быстро:
 $\lim_{\ell \rightarrow \infty} h_\ell = 0$, $\lim_{\ell \rightarrow \infty} \ell h_\ell = \infty$.

Тогда имеет место сходимость по вероятности:

$$a_{h_\ell}(x; X^\ell) \xrightarrow{P} E(y|x) \text{ в любой точке } x \in X,$$

в которой $E(y|x)$, $p(x)$ и $D(y|x)$ непрерывны и $p(x) > 0$.

Часто используемые ядра $K(r)$



$P(r) = [|r| \leq 1]$ — прямоугольное

$T(r) = (1 - |r|) [|r| \leq 1]$ — треугольное

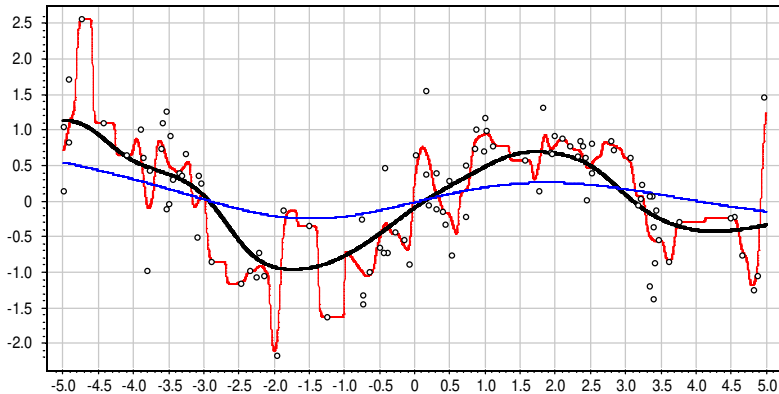
$E(r) = (1 - r^2) [|r| \leq 1]$ — квадратичное (Епанечникова)

$Q(r) = (1 - r^2)^2 [|r| \leq 1]$ — четвертое

$G(r) = \exp(-2r^2)$ — гауссовское

Выбор ядра K и ширины окна h

$h \in \{0.1, 1.0, 3.0\}$, гауссовское ядро $K(r) = \exp(-2r^2)$

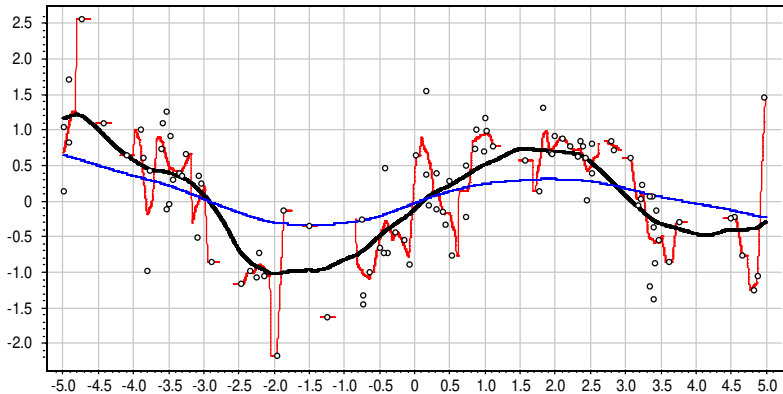


Гауссовское ядро \Rightarrow гладкая аппроксимация

Ширина окна существенно влияет на точность аппроксимации

Выбор ядра K и ширины окна h

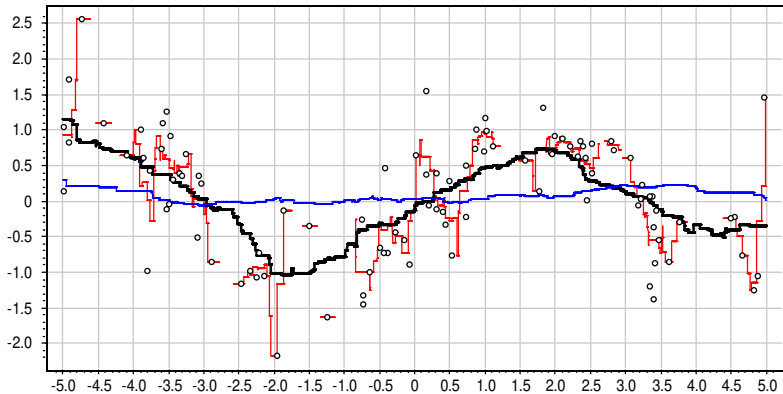
$h \in \{0.1, 1.0, 3.0\}$, треугольное ядро $K(r) = (1 - |r|) [|r| \leq 1]$



Треугольное ядро \Rightarrow кусочно-линейная аппроксимация
Аппроксимация не определена, если в окне нет точек выборки

Выбор ядра K и ширины окна h

$h \in \{0.1, 1.0, 3.0\}$, прямоугольное ядро $K(r) = [|r| \leq 1]$



Прямоугольное ядро \Rightarrow кусочно-постоянная аппроксимация
Выбор ядра слабо влияет на точность аппроксимации

Выбор ядра K и ширины окна h

- Ядро $K(r)$
 - существенно влияет на гладкость функции $a_h(x)$,
 - слабо влияет на качество аппроксимации.
- Ширина окна h
 - существенно влияет на качество аппроксимации.
- Переменная ширина окна по k ближайшим соседям:

$$w_i(x) = K\left(\frac{\rho(x, x_i)}{h(x)}\right), \quad h(x) = \rho(x, x^{(k+1)})$$

где $x^{(k)}$ — k -й сосед объекта x .

- Оптимизация ширины окна по скользящему контролю:

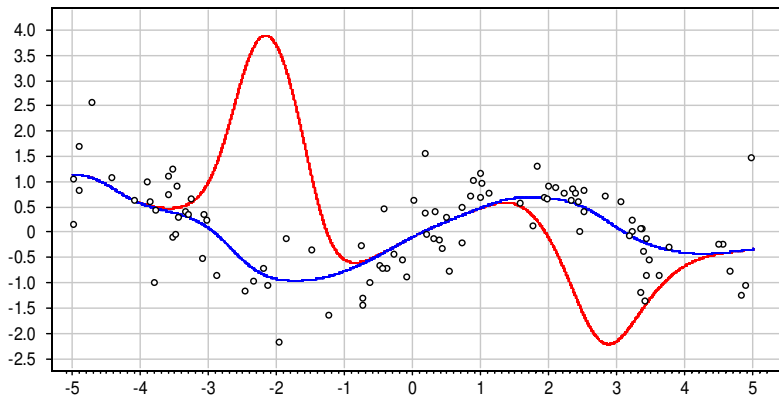
$$\text{LOO}(h, X^\ell) = \sum_{i=1}^{\ell} \left(a_h(x_i; X^\ell \setminus \{x_i\}) - y_i \right)^2 \rightarrow \min_h.$$

Проблема выбросов (эксперимент на синтетических данных)

$\ell = 100$, $h = 1.0$, гауссовское ядро $K(r) = \exp(-2r^2)$

Две из 100 точек — выбросы с ординатами $y_i = 40$ и -40

Синяя кривая — выбросов нет



Проблема выбросов и локально взвешенное сглаживание

Проблема выбросов: точки с большими случайными ошибками y_i сильно искажают функцию $a_h(x)$

Основная идея:

чем больше величина ошибки $\varepsilon_i = |a_h(x_i; X^\ell \setminus \{x_i\}) - y_i|$,
тем больше прецедент (x_i, y_i) похож на выброс,
тем меньше должен быть его вес $w_i(x)$.

Эвристика:

домножить веса $w_i(x)$ на коэффициенты $\gamma_i = \tilde{K}(\varepsilon_i)$,
где \tilde{K} — ещё одно ядро, вообще говоря, отличное от $K(r)$.

Рекомендация:

квартичное ядро $\tilde{K}(\varepsilon) = K_Q\left(\frac{\varepsilon}{6 \operatorname{med}\{\varepsilon_i\}}\right)$,
где $\operatorname{med}\{\varepsilon_i\}$ — медиана вариационного ряда ошибок.

Алгоритм LOWESS (LOcally WEighted Scatter plot Smoothing)

Вход: X^ℓ — обучающая выборка;

Выход: коэффициенты γ_i , $i = 1, \dots, \ell$;

1: инициализация: $\gamma_i := 1$, $i = 1, \dots, \ell$;

2: **повторять**

3: **для всех** объектов $i = 1, \dots, \ell$

4: вычислить оценки скользящего контроля:

$$a_i := a_h(x_i; X^\ell \setminus \{x_i\}) = \frac{\sum_{j=1, j \neq i}^{\ell} y_j \gamma_j K\left(\frac{\rho(x_i, x_j)}{h(x_i)}\right)}{\sum_{j=1, j \neq i}^{\ell} \gamma_j K\left(\frac{\rho(x_i, x_j)}{h(x_i)}\right)}$$

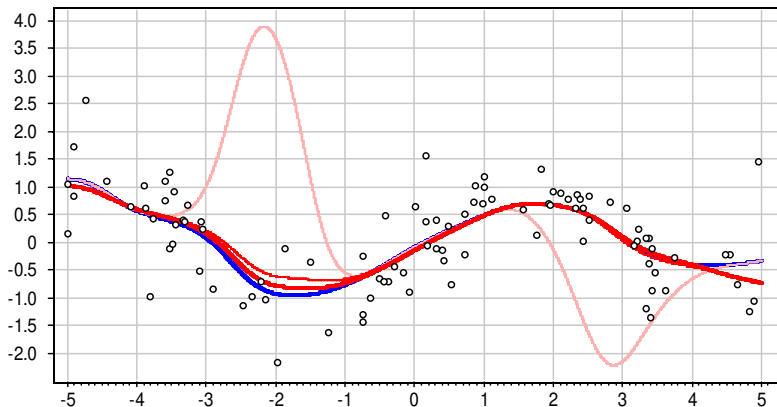
5: **для всех** объектов $i = 1, \dots, \ell$

6: $\gamma_i := \tilde{K}(|a_i - y_i|)$;

7: **пока** коэффициенты γ_i не стабилизируются;

Пример работы LOWESS на синтетических данных

$\ell = 100$, $h = 1.0$, гауссовское ядро $K(r) = \exp(-2r^2)$
Две из 100 точек — выбросы с ординатами $y_i = 40$ и -40
В данном случае LOWESS сходится за несколько итераций:



Резюме

- Непараметрическая регрессия обходится без явного задания параметрической модели зависимости $f(x, \alpha)$.
- Однако неявно модельные предположения закладываются в функцию расстояния $\rho(x, x_i)$ между объектами.
- Что можно обучать:
 - число ближайших соседей k или ширину окна h ;
 - веса объектов (обнаруживать выбросы);
 - метрику (distance learning, similarity learning);
 - в частности, веса признаков в метрике.
- Непараметрическая регрессия часто используется как инструмент предварительной обработки данных для сглаживания шумов в данных.